



DESENVOLVIMENTO DE UM ACELERADOR INT8 BASEADO EM SYSTOLIC ARRAY EM FPGA INTEGRADO A UM SYSTEM-ON-CHIP

Thiago Fernandes

Itajaí – SC
2025

Thiago Fernandes

Desenvolvimento de um Acelerador INT8 Baseado em Systolic Array em FPGA Integrado a um System-on-Chip

Estudo acadêmico desenvolvido de forma independente como parte do aprofundamento em arquitetura de computadores, sistemas embarcados e aceleração de hardware em FPGA, no âmbito do curso de Engenharia da Computação da Universidade do Vale do Itajaí – UNIVALI.

Itajaí – SC
2025

RESUMO

O aumento da complexidade computacional em aplicações modernas tem impulsionado o uso de aceleradores de hardware como alternativa aos processadores de propósito geral, especialmente em domínios caracterizados por elevado paralelismo, como processamento digital de sinais e aprendizado de máquina. Nesse contexto, dispositivos FPGA destacam-se por permitir a implementação de arquiteturas paralelas customizadas com elevada eficiência.

Este estudo apresenta o desenvolvimento de um acelerador de operações aritméticas em ponto fixo de 8 bits (INT8), baseado em uma arquitetura de *systolic array* e implementado em linguagem VHDL. O acelerador foi integrado a um System-on-Chip por meio do barramento Avalon Memory-Mapped, utilizando um wrapper dedicado que encapsula a lógica de computação e permite sua interação com um processador softcore.

A validação funcional e a análise de desempenho foram realizadas por meio de simulação RTL, permitindo a medição de latência e throughput em nível de ciclos de clock. Os resultados demonstram que a arquitetura proposta apresenta baixa latência e elevada taxa de processamento quando comparada, de forma analítica, a um processador de propósito geral executando a mesma operação de maneira sequencial. Dessa forma, o trabalho evidencia o potencial de aceleradores dedicados em FPGA para aplicações computacionalmente intensivas. **Palavras-chave:** FPGA. Acelerador de hardware. Systolic Array. System-on-Chip. VHDL.

SUMÁRIO

1	Introdução	4
2	Fundamentação Teórica	5
2.1	Aceleradores de Hardware em FPGA	5
2.2	Arquitetura Systolic Array	5
2.3	Aritmética em Ponto Fixo INT8	5
3	Metodologia	6
4	Desenvolvimento do Acelerador	7
5	Arquitetura do System-on-Chip	8
5.1	Componentes do SoC	8
5.2	Modelo de Comunicação	9
5.3	Fluxo de Dados do Sistema	9
6	Verificação Funcional e Análise de Desempenho	10
6.1	Ambiente de Simulação	10
6.2	Inicialização do Sistema	10
6.3	Escrita e Controle via Barramento Avalon	10
6.4	Registradores Internos do Acelerador	11
6.5	Execução do Acelerador	11
6.6	Análise de Latência	11
6.7	Análise de Throughput	12
6.8	Discussão dos Resultados	12
7	Comparação com Processador de Propósito Geral	13
7.1	Modelo Computacional Avaliado	13
7.2	Modelo Analítico do Processador	13
7.3	Desempenho do Acelerador	14
7.4	Comparação de Desempenho	14
7.5	Análise de Speedup	15
7.5.1	Speedup de Latência	15
7.5.2	Speedup de Throughput	15
7.5.3	Resumo dos Resultados de Speedup	16
7.6	Discussão	16
8	Conclusão	17
Referências		19

1 INTRODUÇÃO

O avanço das aplicações computacionais nas últimas décadas tem intensificado a demanda por maior desempenho e eficiência energética, especialmente em áreas como processamento digital de sinais, visão computacional e aprendizado de máquina. Essas aplicações envolvem, em sua maioria, operações matemáticas repetitivas e altamente paralelizáveis, que não são exploradas de forma eficiente por arquiteturas baseadas exclusivamente em processadores de propósito geral [1].

Nesse cenário, aceleradores de hardware surgem como uma alternativa eficaz, permitindo a execução de tarefas específicas em unidades dedicadas. De acordo com Kuon, Tessier e Rose [2], dispositivos FPGA oferecem uma combinação única de flexibilidade e paralelismo, possibilitando a implementação de arquiteturas customizadas com elevado desempenho.

Arquiteturas baseadas em *systolic arrays* têm sido amplamente utilizadas em aceleradores modernos devido à sua escalabilidade, eficiência computacional e elevado reuso de dados. Essas arquiteturas são particularmente adequadas para operações de multiplicação e acumulação, fundamentais em algoritmos de aprendizado de máquina [4].

Diante desse contexto, este estudo tem como objetivo o desenvolvimento de um acelerador INT8 baseado em systolic array, bem como sua integração em um System-on-Chip utilizando FPGA, explorando conceitos de modularização, encapsulamento e integração hardware/software.

2 FUNDAMENTAÇÃO TEÓRICA

2.1 ACELERADORES DE HARDWARE EM FPGA

Aceleradores de hardware são unidades especializadas projetadas para executar funções específicas de forma mais eficiente do que processadores de propósito geral. Segundo Hennessy e Patterson [1], essa abordagem permite aumentar significativamente o desempenho ao reduzir o número de instruções executadas em software.

Em dispositivos FPGA, aceleradores podem ser implementados diretamente na lógica reconfigurável, explorando paralelismo espacial e pipelines profundos. Estudos demonstram que, apesar de apresentarem menor eficiência em área quando comparados a ASICs, os FPGAs oferecem flexibilidade e tempo de desenvolvimento reduzido [3].

2.2 ARQUITETURA SYSTOLIC ARRAY

A arquitetura *systolic array*, introduzida por Kung e Leiserson [4], consiste em uma rede de unidades de processamento que operam de forma síncrona, com dados fluindo ritmicamente entre os elementos. Esse modelo reduz acessos à memória externa e favorece o reuso de dados intermediários.

Devido a essas características, systolic arrays são amplamente empregados em aceleradores para multiplicação matricial, convoluções e inferência em redes neurais.

2.3 ARITMÉTICA EM PONTO FIXO INT8

A utilização de aritmética em ponto fixo de 8 bits (INT8) tem se tornado comum em aceleradores de aprendizado de máquina. Trabalhos recentes demonstram que, com técnicas adequadas de quantização e acumulação, é possível obter desempenho elevado com baixo impacto na precisão [6]. Além disso, a aritmética INT8 reduz significativamente o consumo de energia e a área ocupada no FPGA.

3 METODOLOGIA

O desenvolvimento do acelerador seguiu uma abordagem incremental. Inicialmente, foi projetada a unidade elementar de processamento responsável pelas operações de multiplicação e acumulação em formato INT8. Em seguida, essas unidades foram interconectadas em um systolic array unidimensional.

Após a validação funcional em nível RTL, foi desenvolvido um wrapper compatível com o barramento Avalon Memory-Mapped, conforme especificado pela Intel [8]. Por fim, o acelerador foi integrado a um System-on-Chip utilizando o Intel Platform Designer [9], juntamente com um processador softcore, memória on-chip e controladores de clock e reset.

4 DESENVOLVIMENTO DO ACELERADOR

O acelerador desenvolvido neste estudo foi implementado integralmente em linguagem VHDL e estruturado de forma modular, visando facilitar sua compreensão, reutilização e expansão futura. A arquitetura adotada baseia-se em unidades elementares de processamento interconectadas em um systolic array unidimensional.

Cada unidade elementar de processamento realiza operações de multiplicação entre um dado de entrada e um peso, ambos representados em formato INT8. O resultado da multiplicação é acumulado em um registrador de 32 bits, garantindo segurança contra overflow durante operações sucessivas. A unidade é síncrona e utiliza pipeline para permitir operação em frequências mais elevadas.

O systolic array é formado pela interconexão sequencial dessas unidades, permitindo que os dados de entrada sejam propagados entre os elementos enquanto os pesos permanecem estacionários. Essa abordagem reduz a necessidade de acessos à memória e favorece o paralelismo computacional. O resultado final da acumulação é disponibilizado na saída do array para leitura pelo processador.

5 ARQUITETURA DO SYSTEM-ON-CHIP

A arquitetura do sistema em chip desenvolvido neste estudo segue um modelo clássico de SoC baseado em barramento, no qual um processador central coordena a execução das aplicações e o controle dos periféricos especializados. O acelerador INT8 foi integrado como um periférico customizado, acessível por meio do barramento Avalon Memory-Mapped.

A Figura 1 apresenta uma visão geral da arquitetura do sistema.

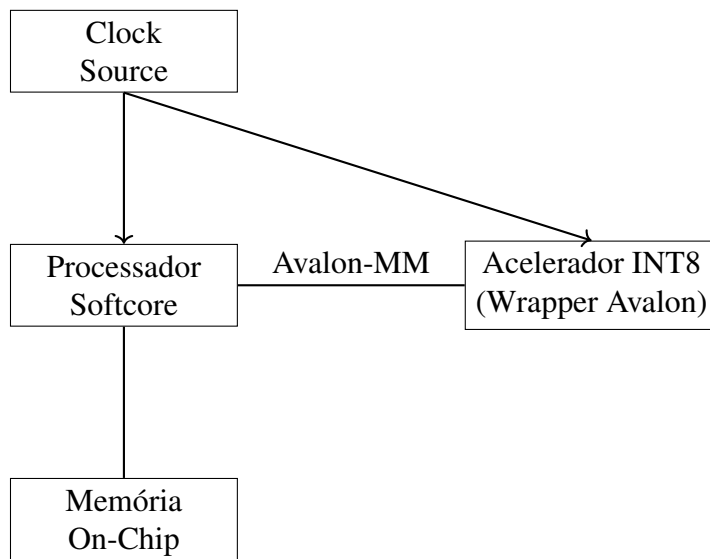


Figura 1 – Arquitetura do System-on-Chip com acelerador INT8 integrado

5.1 COMPONENTES DO SOC

O SoC é composto pelos seguintes blocos principais:

- **Fonte de Clock:** responsável pela geração do sinal de clock global do sistema.
- **Processador Softcore:** executa o software de controle e realiza acessos ao barramento Avalon-MM.
- **Memória On-Chip:** armazena o código do programa e dados de execução.
- **Controlador de Reset:** garante a inicialização síncrona e consistente dos módulos.
- **Acelerador INT8:** periférico customizado responsável pelas operações de multiplicação e acumulação.

5.2 MODELO DE COMUNICAÇÃO

A comunicação entre o processador e o acelerador ocorre exclusivamente por meio de acessos ao barramento Avalon Memory-Mapped. O acelerador é mapeado em um espaço de endereçamento específico e controlado por registradores, permitindo uma integração simples e eficiente.

Essa abordagem favorece a modularidade do sistema, pois o acelerador pode ser substituído ou expandido sem a necessidade de alterações na arquitetura global do SoC.

5.3 FLUXO DE DADOS DO SISTEMA

O fluxo de dados do sistema inicia-se no software executado pelo processador, que escreve os valores de entrada e os pesos nos registradores do acelerador por meio de acessos de escrita no barramento Avalon-MM. Após a configuração dos dados, o software ativa o acelerador por meio de um registrador de controle.

Internamente, o wrapper converte os acessos do barramento em sinais de controle e dados para o systolic array. Os dados de entrada são propagados sequencialmente entre as unidades de processamento, enquanto os pesos permanecem estacionários em cada elemento do array. O resultado acumulado é então disponibilizado em um registrador de saída, que pode ser lido pelo processador.

Esse modelo de operação permite desacoplar completamente o software da implementação interna do acelerador, reforçando o encapsulamento e a reutilização do hardware.

6 VERIFICAÇÃO FUNCIONAL E ANÁLISE DE DESEMPENHO

Este capítulo apresenta o processo de verificação funcional do acelerador INT8 integrado ao System-on-Chip, bem como a análise de desempenho obtida por meio de simulação temporal. As validações foram realizadas em nível RTL utilizando o ModelSim, permitindo observar o comportamento interno do sistema e medir métricas como latência e throughput.

6.1 AMBIENTE DE SIMULAÇÃO

A verificação funcional do sistema foi realizada por meio de um testbench desenvolvido em VHDL, responsável por gerar os sinais de clock, reset e estímulos do barramento Avalon Memory-Mapped. O clock do sistema foi configurado com período de 10 ns, correspondente a uma frequência de 100 MHz.

O testbench simula o comportamento do software embarcado, realizando escritas nos registradores do acelerador, ativando sua execução e monitorando os sinais de saída.

6.2 INICIALIZAÇÃO DO SISTEMA

A Figura 2 apresenta os sinais de clock e reset do sistema. Observa-se que o reset é aplicado durante os ciclos iniciais da simulação, garantindo a inicialização adequada de todos os registradores internos do acelerador e do System-on-Chip.



Figura 2 – Sinais de clock e reset durante a inicialização do sistema

6.3 ESCRITA E CONTROLE VIA BARRAMENTO AVALON

A comunicação entre o processador e o acelerador ocorre por meio do barramento Avalon Memory-Mapped. A Figura 3 ilustra as operações de escrita realizadas pelo software nos registradores internos do acelerador, incluindo a escrita dos dados de entrada, dos pesos e do registrador de controle responsável por iniciar a execução.



Figura 3 – Escrita de dados e controle no acelerador via barramento Avalon-MM

6.4 REGISTRADORES INTERNOS DO ACELERADOR

A Figura 4 apresenta o comportamento dos registradores internos do acelerador durante a simulação. Observa-se o correto armazenamento dos valores de entrada, dos pesos e do registrador de controle, validando o funcionamento do wrapper Avalon e o mapeamento de memória adotado.

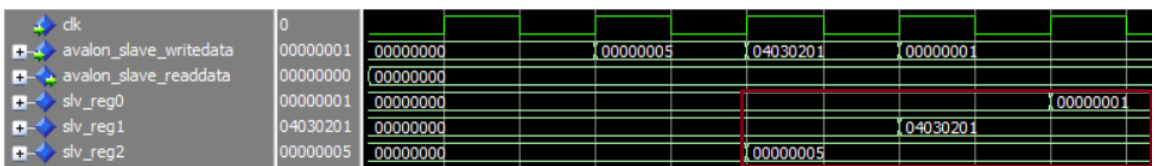


Figura 4 – Estado dos registradores internos do acelerador

6.5 EXECUÇÃO DO ACELERADOR

Após a ativação do sinal de início de execução, o acelerador realiza as operações de multiplicação e acumulação em formato INT8. A Figura 5 apresenta o sinal de saída do acelerador, evidenciando a geração do resultado final após o processamento interno.



Figura 5 – Execução do acelerador e geração do resultado

6.6 ANÁLISE DE LATÊNCIA

A latência do acelerador foi medida como o número de ciclos de clock entre a ativação do sinal *start* e a disponibilização do resultado válido na saída. Conforme ilustrado na Figura 6, observa-se que o resultado final é produzido após três ciclos de clock, sendo identificado um valor intermediário em dois ciclos.

Considerando o período de clock de 10 ns, a latência total do acelerador é de aproximadamente 30 ns.

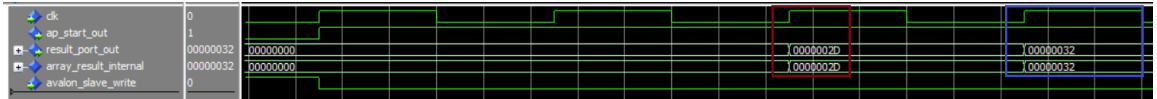


Figura 6 – Latência do acelerador medida em ciclos de clock

6.7 ANÁLISE DE THROUGHTPUT

A análise de throughput foi realizada observando-se a capacidade do acelerador de produzir resultados em execuções consecutivas. A Figura 7 mostra que, após o preenchimento do pipeline, novos resultados são produzidos a cada dois ciclos de clock.

Esse comportamento evidencia a eficiência do paralelismo estrutural adotado na arquitetura do systolic array, permitindo alta taxa de processamento com baixa latência incremental.



Figura 7 – Throughput do acelerador após preenchimento do pipeline

6.8 DISCUSSÃO DOS RESULTADOS

Os resultados obtidos demonstram o correto funcionamento do acelerador INT8 integrado ao System-on-Chip, validando tanto a lógica de computação quanto a interface de comunicação via barramento Avalon-MM.

A baixa latência e o alto throughput observados confirmam a eficácia da arquitetura baseada em systolic array, evidenciando o potencial de aceleradores dedicados em FPGA para aplicações computacionalmente intensivas.

7 COMPARAÇÃO COM PROCESSADOR DE PROPÓSITO GERAL

Este capítulo apresenta uma análise comparativa entre o acelerador INT8 baseado em *systolic array* desenvolvido neste estudo e um processador de propósito geral, representado por uma arquitetura *in-order* típica, como aquelas utilizadas em softcores embarcados em FPGA. A comparação é realizada por meio de um modelo analítico baseado em contagem de ciclos de clock, abordagem amplamente adotada na literatura para avaliação de desempenho arquitetural [1].

A opção por um modelo analítico justifica-se pela ausência de uma plataforma física para execução de software embarcado, bem como pelo fato de que a análise em nível de ciclos permite uma comparação justa e independente de otimizações específicas de compilador.

7.1 MODELO COMPUTACIONAL AVALIADO

A operação avaliada corresponde a um cálculo de multiplicação e acumulação (*Multiply-Accumulate* – MAC), amplamente utilizada em aplicações de processamento digital de sinais e aprendizado de máquina. Considerando um conjunto de quatro pesos, a operação pode ser descrita conforme a Equação 7.1.

$$y = \sum_{i=0}^3 x \cdot w_i \quad (7.1)$$

No acelerador proposto, essa operação é executada de forma paralela por meio de quatro unidades de processamento interconectadas em um systolic array. Em contrapartida, em um processador de propósito geral *in-order*, a mesma operação é realizada de forma sequencial, por meio de um laço de instruções em software.

7.2 MODELO ANALÍTICO DO PROCESSADOR

Para a estimativa de desempenho do processador, considera-se uma arquitetura simples, *in-order*, sem execução fora de ordem ou múltiplas unidades de execução, conforme descrito por Hennessy e Patterson [1]. A Tabela 1 apresenta uma estimativa conservadora do número de ciclos necessários para cada operação elementar.

Tabela 1 – Estimativa de ciclos por operação em processador *in-order*

Operação	Ciclos estimados
Leitura do dado de entrada	1
Leitura do peso	1
Multiplicação	1
Acumulação (soma)	1
Controle de laço	1
Total por iteração	5 ciclos

Considerando quatro iterações para o cálculo completo, o tempo total estimado é de aproximadamente 20 ciclos, acrescido de ciclos adicionais para inicialização e finalização, resultando em uma latência total aproximada de 25 a 30 ciclos por operação.

7.3 DESEMPENHO DO ACELERADOR

O desempenho do acelerador foi obtido por meio de simulação RTL no ModelSim, conforme apresentado no capítulo anterior. O clock do sistema foi configurado com período de 10 ns (100 MHz). As medições realizadas indicaram:

- Latência de 3 ciclos de clock entre o sinal de início e a disponibilização do resultado final;
- Produção de novos resultados a cada 2 ciclos de clock após o preenchimento do pipeline;
- Execução paralela de quatro operações de multiplicação e acumulação.

Esse comportamento é característico de arquiteturas baseadas em systolic arrays, nas quais o paralelismo estrutural e o pipeline permitem elevado throughput [4].

7.4 COMPARAÇÃO DE DESEMPENHO

A Tabela 2 apresenta a comparação direta entre o acelerador proposto e o processador de propósito geral, considerando a mesma frequência de clock.

Tabela 2 – Comparaçao de desempenho entre acelerador e processador

Métrica	Acelerador	Processador
Frequência de clock	100 MHz	100 MHz
Latência (ciclos)	3	≈ 25–30
Latência (tempo)	30 ns	250–300 ns
Throughput	1 resultado / 2 ciclos	1 resultado / ≈ 25 ciclos
Modelo de execução	Paralelo	Sequencial
Tipo de aritmética	INT8 dedicada	INT8 via software

A partir dos dados apresentados, observa-se que o acelerador apresenta uma redução de latência de aproximadamente uma ordem de grandeza quando comparado ao processador. Além

disso, o throughput do acelerador é significativamente superior, evidenciando sua capacidade de processar múltiplas operações de forma eficiente.

7.5 ANÁLISE DE SPEEDUP

A fim de quantificar de forma objetiva os ganhos de desempenho proporcionados pelo acelerador INT8 desenvolvido, realizou-se uma análise de *speedup* baseada em contagem de ciclos de clock. O *speedup* é uma métrica amplamente utilizada na literatura de arquitetura de computadores para expressar a razão entre o tempo de execução de uma solução de referência e o tempo de execução de uma solução otimizada [1].

Neste estudo, o processador de propósito geral *in-order* foi adotado como referência, enquanto o acelerador baseado em *systolic array* representa a solução otimizada. Considerando que ambos operam na mesma frequência de clock, o tempo de execução pode ser diretamente relacionado ao número de ciclos necessários para a conclusão da operação avaliada.

7.5.1 Speedup de Latência

O *speedup de latência* considera o tempo necessário para a produção de um único resultado completo. Conforme discutido anteriormente, a execução da operação de multiplicação e acumulação (MAC) envolvendo quatro pesos requer aproximadamente 25 ciclos de clock quando realizada em software no processador de propósito geral. Em contrapartida, o acelerador proposto disponibiliza o resultado final após apenas três ciclos de clock.

O *speedup de latência* pode, portanto, ser calculado conforme a Equação 7.2:

$$\text{Speedup}_{\text{latência}} = \frac{25}{3} \approx 8,33 \quad (7.2)$$

Esse resultado indica que o acelerador é aproximadamente oito vezes mais rápido que o processador para a execução de uma única operação MAC, evidenciando o impacto positivo do paralelismo estrutural e da lógica dedicada.

7.5.2 Speedup de Throughput

Além da latência, é relevante avaliar o desempenho do sistema em cenários de execução contínua, nos quais múltiplas operações são processadas de forma sequencial. Nessa situação, o *speedup de throughput* reflete a taxa de produção de resultados após o preenchimento do pipeline.

Enquanto o processador produz um resultado aproximadamente a cada 25 ciclos de clock, o acelerador gera novos resultados a cada dois ciclos de clock após o estágio inicial de pipeline. Dessa forma, o *speedup de throughput* é dado pela Equação 7.3:

$$\text{Speedup}_{\text{throughput}} = \frac{25}{2} = 12,5 \quad (7.3)$$

Esse valor demonstra que, em aplicações caracterizadas por fluxo contínuo de dados, o acelerador apresenta um ganho de desempenho ainda mais expressivo, sendo mais de doze vezes superior ao processador de propósito geral.

7.5.3 Resumo dos Resultados de Speedup

A Tabela 3 apresenta um resumo dos valores de *speedup* obtidos nesta análise.

Tabela 3 – Resumo dos valores de speedup obtidos

Métrica	Speedup
Speedup de latência	8,33
Speedup de throughput	12,5

Os resultados apresentados confirmam que o uso de um acelerador dedicado baseado em *systolic array* proporciona ganhos substanciais de desempenho, especialmente em cenários com elevado grau de paralelismo e reutilização de dados. Esses ganhos são consistentes com estudos prévios da literatura e reforçam a adequação de aceleradores em FPGA para aplicações computacionalmente intensivas.

7.6 DISCUSSÃO

Os resultados obtidos corroboram a literatura, que aponta aceleradores dedicados como soluções eficazes para aplicações com alto grau de paralelismo [2]. Enquanto o processador executa as operações de forma sequencial, o acelerador explora paralelismo espacial, reduzindo significativamente o número de ciclos necessários para a computação.

Adicionalmente, o uso de aritmética em ponto fixo INT8 contribui para a redução da complexidade da lógica, do consumo energético e da latência, conforme discutido em estudos recentes sobre quantização em aprendizado de máquina [6].

Dessa forma, a comparação evidencia que, para aplicações específicas como operações de multiplicação e acumulação, o uso de aceleradores dedicados em FPGA pode proporcionar ganhos expressivos de desempenho quando comparado a processadores de propósito geral.

8 CONCLUSÃO

Este trabalho apresentou o projeto, a implementação e a avaliação de um acelerador aritmético INT8 baseado em arquitetura de *systolic array*, integrado a um System-on-Chip em FPGA por meio do barramento Avalon Memory-Mapped. O objetivo principal foi investigar o impacto do uso de arquiteturas dedicadas na aceleração de operações computacionalmente intensivas, em especial multiplicação e acumulação, amplamente empregadas em aplicações de processamento digital de sinais e aprendizado de máquina.

A arquitetura desenvolvida foi implementada integralmente em VHDL e estruturada de forma modular, o que facilitou sua validação funcional e integração ao sistema. A adoção de um systolic array unidimensional permitiu explorar paralelismo estrutural e pipeline, resultando em uma solução capaz de produzir resultados com baixa latência e elevado throughput. As simulações em nível RTL indicaram uma latência de apenas três ciclos de clock entre a ativação do acelerador e a disponibilização do resultado final, além da produção de novos resultados a cada dois ciclos após o preenchimento do pipeline.

A integração do acelerador ao System-on-Chip, realizada por meio de um wrapper compatível com o barramento Avalon Memory-Mapped, demonstrou a viabilidade de encapsular aceleradores dedicados como periféricos acessíveis por software. Esse modelo de comunicação permite desacoplar o controle do acelerador de sua implementação interna, favorecendo a modularidade e a reutilização do hardware.

A comparação analítica com um processador de propósito geral, baseada em contagem de ciclos de clock, evidenciou ganhos expressivos de desempenho. Enquanto o processador executa a operação de forma sequencial, demandando dezenas de ciclos de clock, o acelerador explora paralelismo espacial, reduzindo significativamente a latência e aumentando o throughput. Esses resultados estão alinhados com a literatura, que aponta aceleradores dedicados em FPGA como soluções eficazes para aplicações com alto grau de paralelismo.

Como limitação deste estudo, destaca-se o fato de que as análises foram conduzidas exclusivamente por meio de simulação RTL, não contemplando medições em hardware físico, como consumo energético e utilização efetiva de recursos do FPGA. Ainda assim, a abordagem adotada é amplamente aceita para avaliação arquitetural preliminar e permite conclusões consistentes em nível de projeto.

Como trabalhos futuros, propõe-se a implementação do acelerador em uma plataforma FPGA real, possibilitando a obtenção de métricas adicionais, como potência dissipada e eficiência energética. Além disso, a execução de software embarcado em um processador softcore para comparação direta de desempenho e a expansão da arquitetura para suportar arrays de maior dimensão ou operações mais complexas representam extensões naturais deste trabalho.

Dessa forma, conclui-se que o acelerador desenvolvido atende aos objetivos propostos,

demonstrando o potencial de arquiteturas baseadas em *systolic arrays* como alternativas eficientes para a aceleração de operações aritméticas em sistemas embarcados baseados em FPGA.

REFERÊNCIAS

- [1] HENNESSY, John L.; PATTERSON, David A. *Computer Architecture: A Quantitative Approach*. 6. ed. San Francisco: Morgan Kaufmann, 2019.
- [2] KUON, Ian; TESSIER, Russell; ROSE, Jonathan. FPGA Architecture: Survey and Challenges. *Foundations and Trends in Electronic Design Automation*, v. 2, n. 2, p. 135–253, 2008.
- [3] KUON, Ian; ROSE, Jonathan. Measuring the gap between FPGAs and ASICs. *IEEE Transactions on Computer-Aided Design of Integrated Circuits and Systems*, v. 26, n. 2, p. 203–215, 2007.
- [4] KUNG, H. T.; LEISERSON, C. E. Systolic Arrays for VLSI. In: *Sparse Matrix Proceedings*. Academic Press, 1979.
- [5] CHEN, Yu-Hsin et al. Eyeriss: An Energy-Efficient Reconfigurable Accelerator for Deep Convolutional Neural Networks. *IEEE Journal of Solid-State Circuits*, v. 52, n. 1, p. 127–138, 2017.
- [6] JACOB, Benoit et al. Quantization and Training of Neural Networks for Efficient Integer-Arithmetic-Only Inference. *Proceedings of the IEEE Conference on Computer Vision and Pattern Recognition (CVPR)*, 2018.
- [7] MEHER, Pramod Kumar et al. Efficient FPGA and ASIC realizations of digital signal processing systems. *IEEE Transactions on Circuits and Systems I*, v. 59, n. 6, p. 1200–1213, 2012.
- [8] INTEL CORPORATION. *Avalon Interface Specifications*. Intel FPGA Documentation, 2024.
- [9] INTEL CORPORATION. *Platform Designer User Guide*. Intel FPGA Documentation, 2024.
- [10] BERGERON, Janick. *Writing Testbenches: Functional Verification of HDL Models*. 2. ed. Springer, 2003.
- [11] WOLF, Wayne. *Computers as Components: Principles of Embedded Computing System Design*. 3. ed. Morgan Kaufmann, 2012.